

УДК: 548.1.02+548.31+621.355.8

ЕЛЕКТРОХІМІЧНЕ ГІДРУВАННЯ СПЛАВІВ НА ОСНОВІ Tb₂Ni₇, ЛЕГОВАНИХ ЛІТІЄМ ТА МАГНІЄМ

В. Нитка*, В. Кордан, І. Тарасюк, В. Павлюк

*Львівський національний університет імені Івана Франка,
вул. Кирила і Мефодія, 6, 79005 Львів, Україна
e-mail: vitalii.nytko@lnu.edu.ua*

Методами рентгенівської дифракції порошку, скануючої електронної мікроскопії та енергодисперсійної рентгенівської спектроскопії досліджено фазовий склад та визначено розчинність магнію у бінарному інтерметаліді α -Tb₂Ni₇ (до 8 ат. %). Композитні електроди містили три електрохімічно активні фази зі структурою типу Ce₂Ni₇ (просторова група *P6₃/mmc*), Gd₂Co₇ (просторова група *R-3m*) та CaCu₅ (просторова група *P6/mmm*). Досліджено сплави складу Tb₂₂Ni₇₈, Tb₂₂Ni_{75,5}Mg_{2,5} та Tb₂₂Ni₇₃Li_{2,5}Mg_{2,5} як електродні матеріали у нікель-металогібридному акумуляторі, які характеризуються ємністю 159, 171 та 180 мА·год/г. З'ясовано, що під час електрохімічних процесів відбувається зменшення розмірів частинок електродного матеріалу. Процеси аморфізації проявляються у появі гало на дифрактограмах та зміні морфології поверхні зерен.

Ключові слова: твердий розчин, рентгенівська дифракція, енергодисперсійна рентгенівська спектроскопія, електрохімічне гідрування.

DOI: <https://doi.org/10.30970/vch.6401.136>

1. Вступ

Інтерметалічні сполуки становлять категорію матеріалів, які широко застосовують завдяки різноманітним фізико-хімічним властивостям. Сполуки на основі рідкісноземельних металів (РЗМ) та нікелю проявляють цікаві магнітні, каталітичні та електрохімічні властивості. Інтерметаліди систем R–Ni характеризуються високою перспективністю як водневі накопичувачі та електродні матеріали у металогібридних акумуляторах. Головною вимогою до електродних матеріалів чи накопичувачів водню є здатність до оборотного процесу інтеркаляції-деінтеркаляції Гідрогену зі збереженням цілісності кристалічної структури речовини та максимальною ємністю сорбції. Нікель-металогібридні акумулятори (Ni-MH) є одним із найбільш використовуваних типів хімічних джерел електричної енергії (ХДЖЕ) завдяки високій ємності, густині енергії та здатності витримувати високі навантаження.

Типовими анодними матеріалами для Ni-MH є інтерметалічні сполуки стехіометрії AB₅ зі структурним типом (СТ) CaCu₅ (просторова група (ПГ) *P6/mmm*). Сполуки типу CaCu₅ володіють достатнім простором у позиціях 6i, 6m, 12n та 12o для розміщення у них атомів Гідрогену з утворенням гідридів включення [1, 2]. Споріднені до “материнського” CaCu₅ структурні типи PuNi₃, Th₂Ni₁₇, Th₂Zn₁₇, Ce₂Ni₇ та Gd₂Co₇ містять однакові фрагменти із достатнім розміром пустот для включення атомів Гідрогену, що робить їх придатними для накопичення водню [3].

Сполука Tb_2Ni_7 кристалізується у двох поліморфних модифікаціях: типу Ce_2Ni_7 (гексагональний) та Gd_2Co_7 (ромбоедричний), які співіснують у широкому температурному інтервалі. Перетворення відбувається за температури 931 °С [4]. Поруч зі сполукою Tb_2Ni_7 утворюються фази зі структурними типами $PuNi_3$ та $CaCu_5$, які є спорідненими між собою [5–8]. Вплив легуючих компонентів на гідрогенсорбційні та фізико-хімічні властивості споріднених сполук та твердих розчинів описано у працях [9–14]. У попередній нашій праці [4] з'ясовано, що обмежений твердий розчин $\alpha-Tb_2Ni_{7-2x}Li_xMg_x$ ($0 \leq x \leq 0,5$) характеризується нелінійним зростанням параметрів комірки. Під час електрохімічного гідрування трифазного композита складу $Tb_2Ni_{6,1}Li_{0,3}Mg_{0,3}Sb_{0,3}$ ми експериментально визначили, що розрядна ємність матеріалу сягає 185 мА·год/г [15]. Багатокомпонентні тверді розчини на основі Tb_2Ni_7 , а також їхні фізико-хімічні властивості є малодослідженими. Мета нашої праці – дослідити електрохімічні та гідрогенсорбційні властивості твердих розчинів, які утворюються під час допування магнієм і літієм.

2. Матеріали та методика експерименту

Зразки складу $Tb_{22}Ni_{78}$, а також леговані магнієм та сумішшю літію та магнію синтезували кількарізним електродувим сплавленням пресованої шихти металів високої чистоти (> 99,99 мас. %) в атмосфері чистого аргону із використанням гетеру (губчастий титан). Шихту готували із надлишком 5 мас. % Li та Mg для компенсації можливих втрат у процесі синтезу. Визначення якісного і кількісного складу сплавів проводили за допомогою енергодисперсійної рентгенівської спектроскопії (ЕДРС) на електронному мікроскопі Tescan Vega3 LMU з системою Oxford Instruments Aztec ONE (Si-дрейфовий детектор X-MaxN20). Масиви рентгенівських даних одержали на дифрактометрі ДРОН-2.0М (Fe $K\alpha$ -випромінювання). Рентгенофазовий аналіз зразків проводили із використанням програми PowderCell [16] з уточненням параметрів елементарної комірки у програмі LATCON [17].

Електрохімічне гідрування проводили у двоелектродних прототипах ХДЕЕ “Swagelok-cell”. Як катодний матеріал використали нікель гідроксид ($Ni(OH)_2$) [18]. Аморфний свіжоосаджений осад сушили протягом тижня за кімнатної температури. Суміш α - та β - $Ni(OH)_2$ перетерли з порошком графіту (9:1 за масою) до утворення однорідної суміші. Як електроліт використали 6 М розчин калій гідроксиду (таку саму концентрацію застосовують у промислових зразках), яким змочували катодний і анодний простір. У прототипі ХДЕЕ катодний матеріал має вигляд спресованого циліндра з площею поперечного перерізу 1 см² та висотою 2 мм. Досліджувані сплави подрібнювали, перетирали в порошок, спресовували в таблетку і змочували електролітом. Процес заряджання та розряджання складеного прототипу акумулятора проводили за густини струму 1,0 мА/см² протягом 50 циклів. Усі електрохімічні дослідження проводили на двоканальному гальваностаті МТех G410-2 [19].

3. Результати досліджень та їх обговорення

Рентгенівський фазовий аналіз досліджуваних сплавів показав утворення двох модифікацій сполуки зі стехіометрією 2:7 (α - Tb_2Ni_7 і β - Tb_2Ni_7) та фази зі структурою $CaCu_5$. Після електрохімічного гідрування дифрактограми характеризуються наявністю аморфного гало та розширених профілів рентгенівських піків.

Дифрактограми композитних електродних матеріалів на основі $Tb_{22}Ni_{75,5}Mg_{2,5}$ та $Tb_{22}Ni_{73}Li_{2,5}Mg_{2,5}$ до та після гідрування наведено на рис. 1. Контроль елементного складу сплавів після синтезу за допомогою методу ЕДРС показав, що загальний склад добре корелює із номінальним. Рентгенівський фазовий аналіз та СЕМ-метод аналізу поверхні зразків $Tb_{22}Ni_{78-x}Mg_x$ показав утворення очікуваних фаз зі структурою типу Ce_2Ni_7 (основна сіра фаза), Gd_2Co_7 (світло-сіра фаза) та $CaCu_5$ (темна фаза на СЕМ-зображенні). Розчинність магнію у α -фазі не перевищує 8 ат. %, аналогічна максимальна розчинність магнію у $TbNi_5$. Розчинність магнію у β -фазі не перевищує 5 ат. % (згідно з аналізом методом ЕДРС).

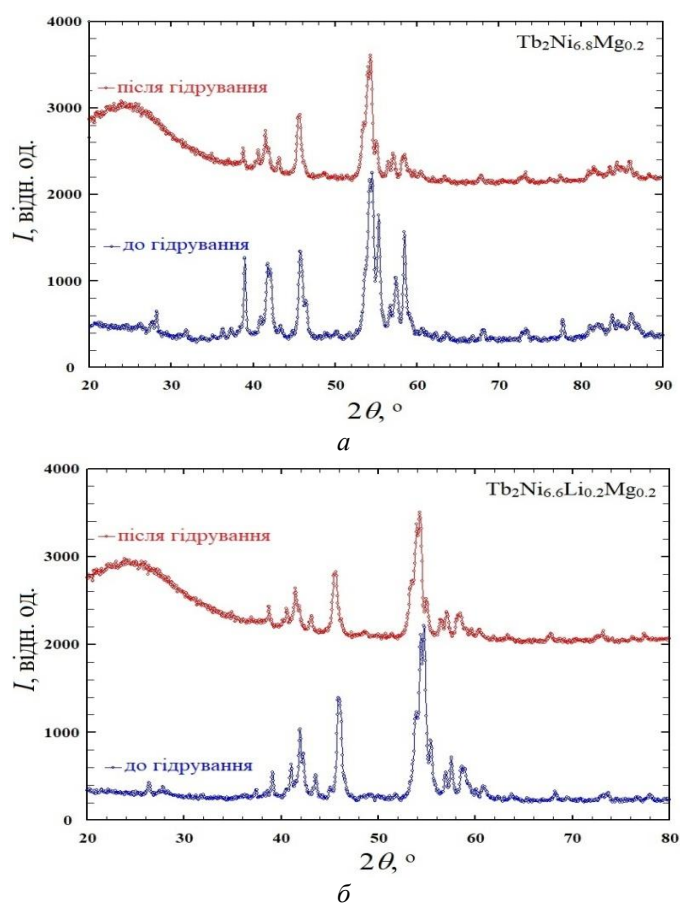


Рис. 1. Дифрактограми зразків на основі $Tb_2Ni_{6,8}Mg_{0,2}$ (а) та $Tb_2Ni_{6,6}Li_{0,2}Mg_{0,2}$ (б) до та після електрохімічного гідрування

Fig. 1. X-ray powder patterns of the samples based on $Tb_2Ni_{6,8}Mg_{0,2}$ (a) and $Tb_2Ni_{6,6}Li_{0,2}Mg_{0,2}$ (b)

Варто зазначити, що склад α -фази має на 0,8–1,5 ат. % менший вміст Tb, ніж β -фаза. У сплавах під час аналізу поверхні виявлено малий вміст сполуки $TbNi_3$, рентгенівські піки якої накладаються з піками сполук β - Tb_2Ni_7 та $TbNi_5$ через близьку кристалохімічну спорідненість між сполуками.

На рис. 2 наведено елементний розподіл для серії зразків $Tb_{22}Ni_{78-x}Mg_x$. Для електрохімічного гідрування обрано сплав із невеликим вмістом магнію, оскільки вміст фаз зі стехіометрією 2:7 є найбільшим.

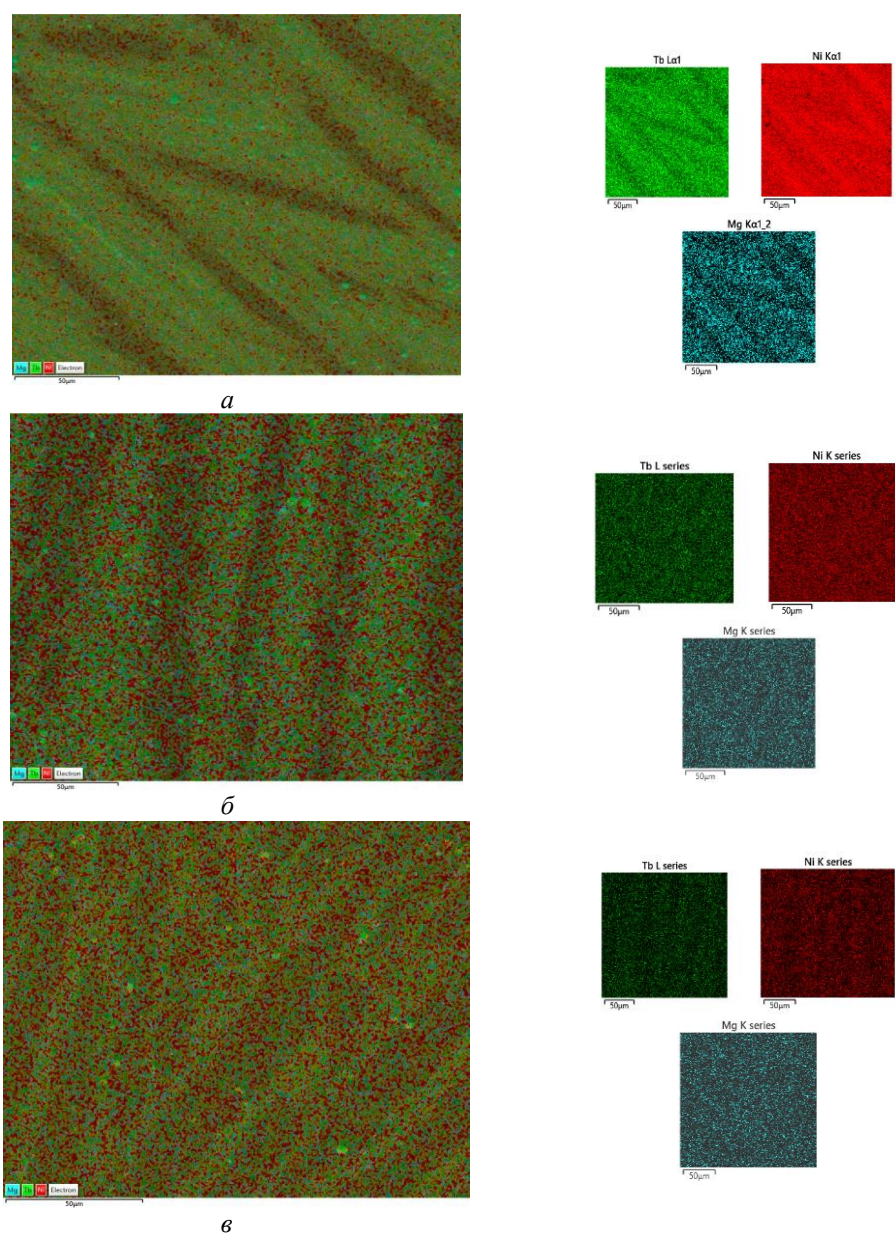


Рис. 2. Елементний розподіл по поверхні сплавів $Tb_2Ni_{7-x}Mg_x$,
 $x = 0,2$ (*a*); $x = 0,4$ (*б*); $x = 1,0$ (*в*)

Fig. 2. Elemental mapping on the $Tb_2Ni_{7-x}Mg_x$ alloys surface,
 $x = 0.2$ (*a*); $x = 0.4$ (*b*); $x = 1.0$ (*c*)

На рис. 3 та 5 наведено СЕМ-зображення подрібнених зразків на основі $Tb_{22}Ni_{78}$ та $Tb_{22}Ni_{75,5}Mg_{2,5}$ перед електрохімічним гідруванням та після вимірювання електрохімічних властивостей. Спільним для всіх зразків є агрегація дрібних частинок та зменшення їхнього розміру. Гострі грані зерен вихідних зразків стають більш округлені завдяки протравленню поверхні. Рис. 4 та 6 демонструють загальний склад та розподіл елементів по поверхні зерен. Після електрохімічного гідрування загальний склад двокомпонентного зразка змінився на користь нікелю: $Tb_{21,7}Ni_{78,3} \rightarrow Tb_{20,1}Ni_{79,9}$.

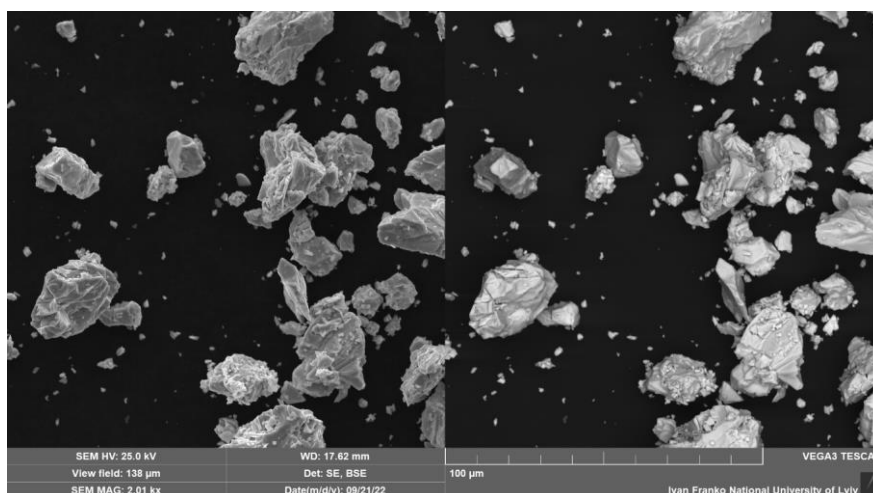
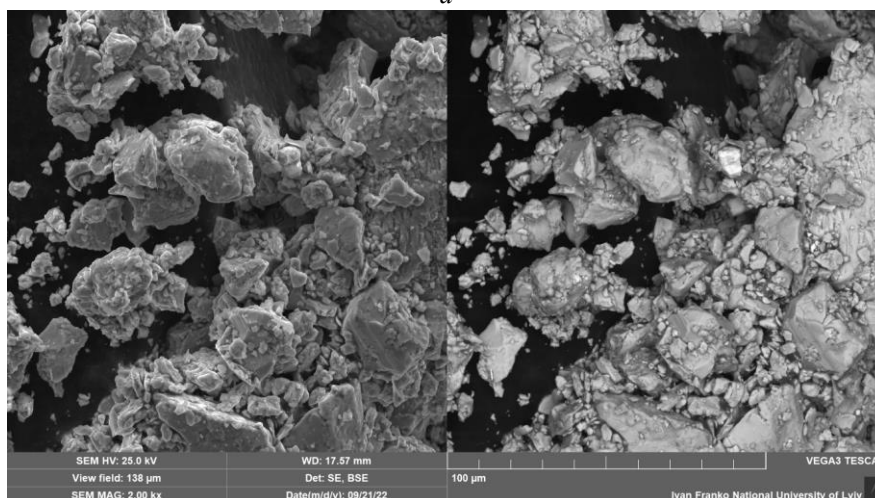
*a**б*

Рис. 3. СЕМ-зображення полікристалічного зразка $Tb_{22}Ni_{78}$ до (а) та після гідрування (б)
Fig. 3. SEM-images of the $Tb_{22}Ni_{78}$ sample before (a) and after hydrogenation (b)

Подібна тенденція характерна й для Mg-вмісного зразка. Під час електрохімічних процесів відбувається незначне “вилучення” тербію з електрода: $Tb_{22,6}Ni_{74,5}Mg_{2,9} \rightarrow Tb_{21,0}Ni_{75,1}Mg_{3,9}$. У зразках після гідрування простежували невеликий вміст K, C та O з електроліту. На рис. 7 наведено вибрані зарядні та розрядні криві прототипу ХДЕЕ з композитними електродами на основі сплавів $Tb_{22}Ni_{78}$, $Tb_{22}Ni_{75,5}Mg_{2,5}$ та $Tb_{22}Ni_{75,5}Li_{2,5}Mg_{2,5}$. Зі збільшенням вмісту легуючих компонентів зростає номінальна напруга розряду та розрядна ємність. Остання сягає 159, 171 та 180 $mA \cdot год/г$, відповідно. Хімічний тюнінг у напрямку високоентропійних сплавів демонструє покращення електрохімічних властивостей, подібно, як для твердих розчинів $SmNi_{5-x}M_x$, $M = In$ та $In + Sn$ [20].

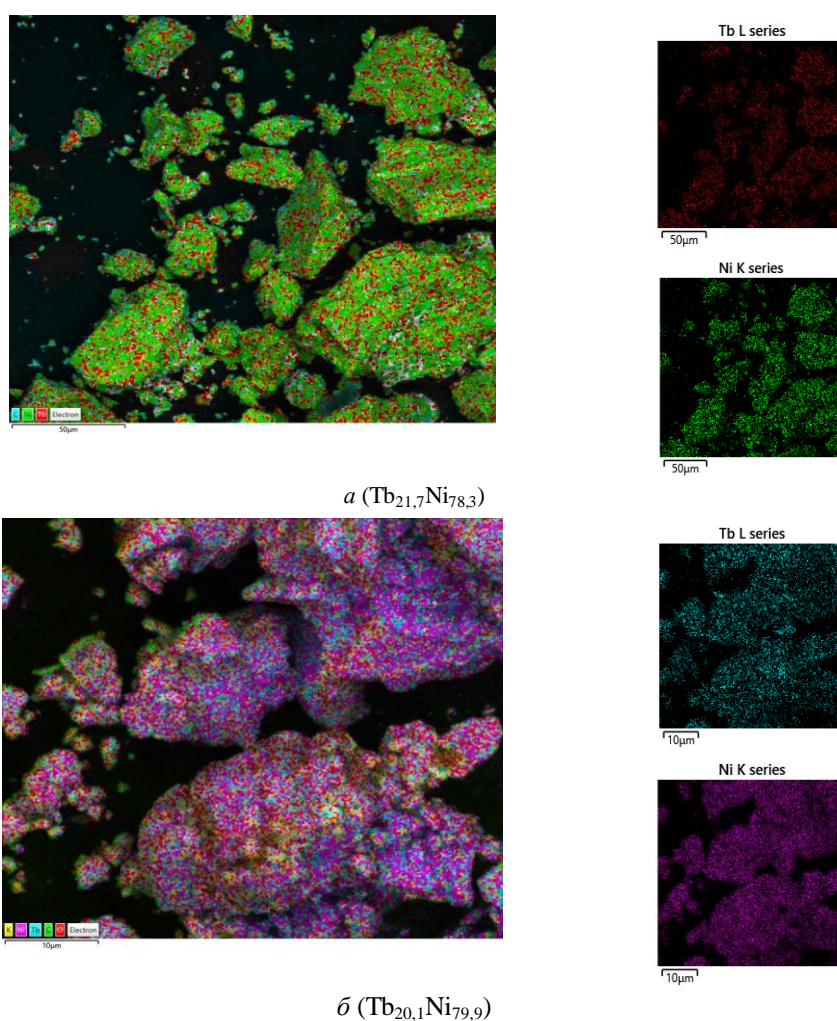
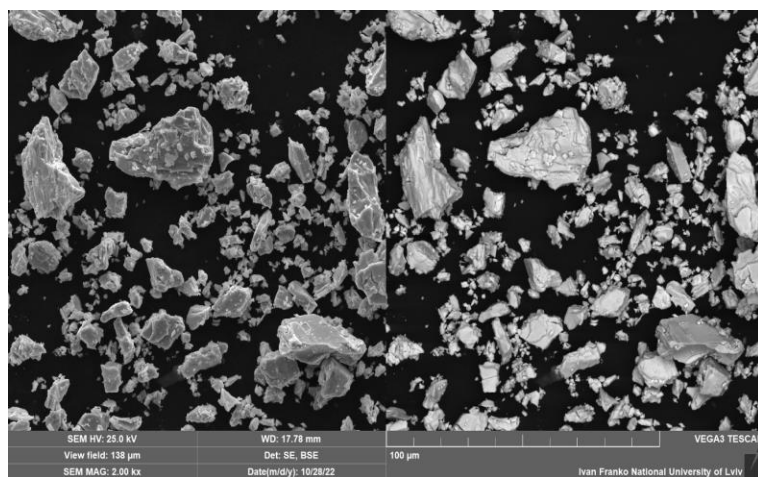
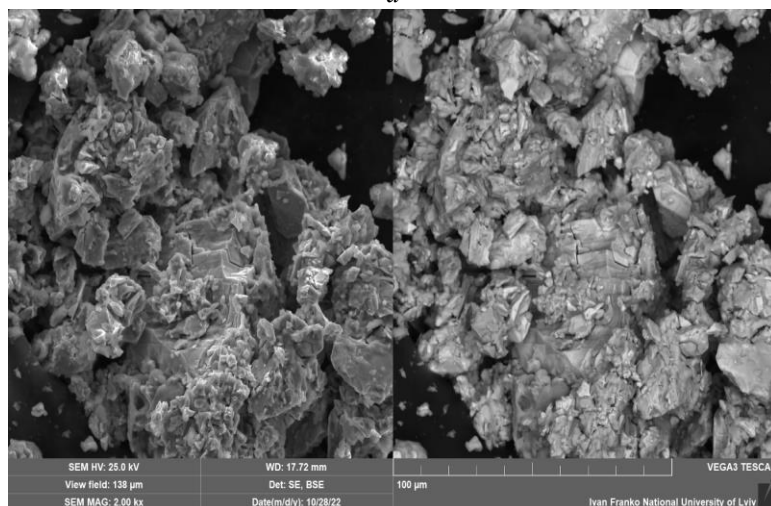


Рис. 4. Елементний розподіл по поверхні полікристалічного зразка $Tb_{22}Ni_{78}$ до (а) та після гідрування (б)
 Fig. 4. Elemental mapping on the $Tb_{22}Ni_{78}$ polycrystalline sample surface before (a) and after hydrogenation (b)

Унаслідок електрохімічного гідрування відбувається ізотропне збільшення параметрів комірки. Зміна параметрів комірки для бінарної фази α -Tb₂Ni₇ у двокомпонентному сплаві становить $a = 4,9498(3) \rightarrow 4,955(1) \text{ \AA}$, $c = 24,126(3) \rightarrow 24,18(1) \text{ \AA}$, $V = 511,93(7) \rightarrow 514,2(3) \text{ \AA}^3$. Параметри комірки α -Tb₂Ni_{7-x}Mg_x ($x = 0,2$) змінюються так: $a = 4,9560(4) \rightarrow 4,9617(8) \text{ \AA}$, $c = 24,190(3) \rightarrow 24,221(6) \text{ \AA}$, $V = 514,56(9) \rightarrow 516,4(2) \text{ \AA}^3$. Для чотирикомпонентного сплаву зміна параметрів: $a = 4,9520(7) \rightarrow 4,9677(8) \text{ \AA}$, $c = 24,173(8) \rightarrow 24,275(6) \text{ \AA}$, $V = 513,3(2) \rightarrow 518,8(2) \text{ \AA}^3$.



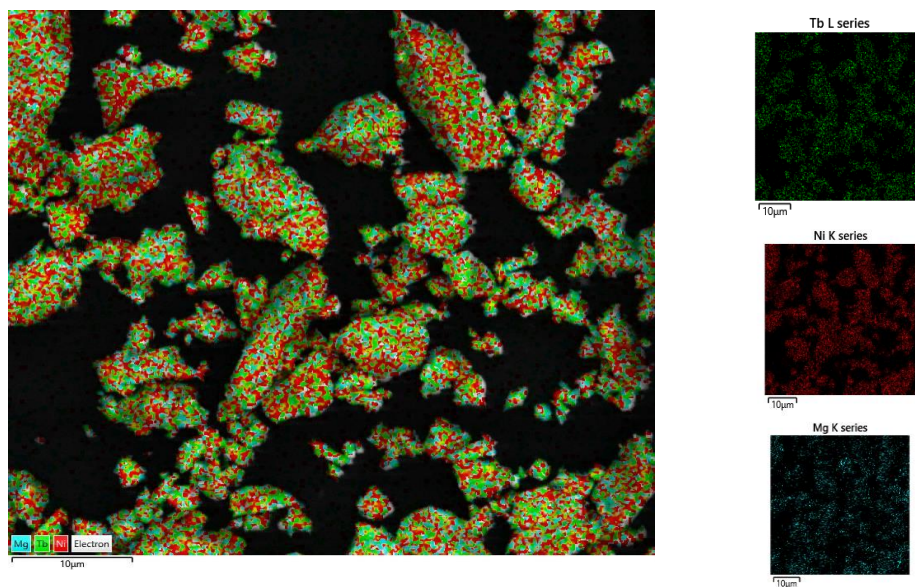
a



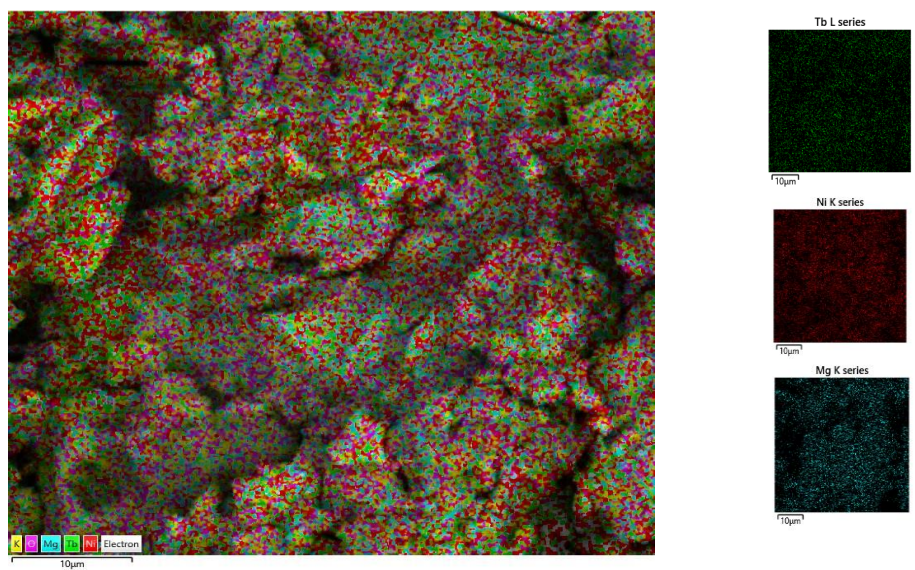
b

Рис. 5. СЕМ-зображення полікристалічного зразка Tb₂₂Ni_{75,5}Mg_{2,5} до (а) та після гідрування (б)

Fig. 5. SEM-images of the Tb₂₂Ni_{75,5}Mg_{2,5} polycrystalline sample before (a) and after hydrogenation (b)



a ($Tb_{22,6}Ni_{74,5}Mg_{2,9}$)



b ($Tb_{21,0}Ni_{75,1}Mg_{3,9}$)

Рис. 6. Елементний розподіл по поверхні полікристалічного зразка $Tb_{22}Ni_{75,5}Mg_{2,5}$ до (а) та після гідрування (б)

Fig. 6. Elemental mapping on the $Tb_{22}Ni_{75,5}Mg_{2,5}$ polycrystalline sample surface before (a) and after hydrogenation (b)

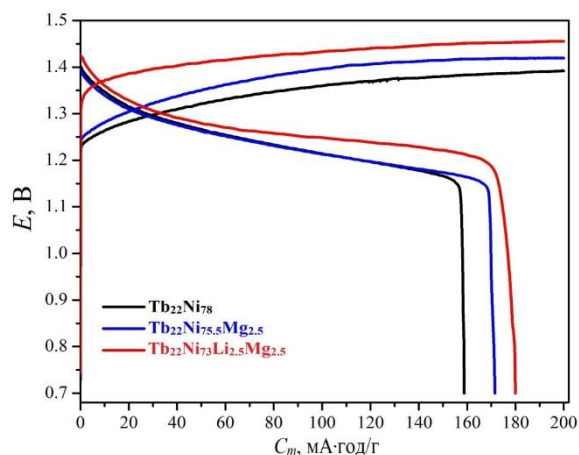


Рис. 7. Вибрані зарядні та розрядні криві для ХДЕЕ з електродами на основі досліджених сплавів

Fig. 7. Selected charge and discharge curves for battery prototypes with electrodes on the basis of studied alloys

4. Висновки

На основі бінарної сполуки α -Tb₂Ni₇ утворюється обмежений твердий розчин заміщення магнію до 8 ат. %. Заміщення нікелю на магній чи статистичну суміш (Li та Mg) спричиняє зростання параметрів комірки. Композитні електроди на основі сплавів Tb₂₂Ni₇₈, Tb₂₂Ni_{75.5}Mg_{2.5} та Tb₂₂Ni₇₃Li_{2.5}Mg_{2.5} містять дві модифікації фази зі стехіометрією 2:7 (СТ Ce₂Ni₇, ПГ *R*6₃/*mmc* та СТ Gd₂Co₇, ПГ *R*-3*m*) і фазу зі стехіометрією 1:5 (СТ CaCu₅, ПГ *R*6/*mmm*). Електродні матеріали на основі цих сплавів характеризуються ємністю 159, 171 та 180 mA·год/г. Під час електрохімічних процесів відбувається зменшення розмірів частинок електродного матеріалу. Процеси аморфізації проявляються у появі гало на дифрактограмах та зміні морфології поверхні зерен.

Роботу виконано в рамках проєкту (номер державної реєстрації 0121U107937).

1. Huang T., Yu H. An X-ray diffraction study on phase transition of lattice gas in LaNi₅H_n // J. Less-Common Met. 1989. Vol. 153. P. 253–257.
2. Akiba E., Nomura K., Ono S. A new hydride phase of LaNi₅H₃ // J. Less-Common Met. 1987. Vol. 129. P. 159–164.
3. Qingrong Y., Yanchun W., Huaiying Z. Phase diagram of the Tb–Ni binary system // J. Alloys Compd. 2005. Vol. 395. P. 98–100.
DOI: [10.1016/j.jallcom.2004.11.043](https://doi.org/10.1016/j.jallcom.2004.11.043)

4. *Nytka V., Kordan V., Tarasiuk I., Zelinska O., Pavlyuk V.* Polymorphism of the Tb_2Ni_7 binary compound. Solubility of lithium and magnesium in α -phase // *Visnyk Lviv Univ. Ser. Chem.* 2022. Vol. 63. P. 74–81 (in Ukrainian). DOI: [10.30970/vch.6301.074](https://doi.org/10.30970/vch.6301.074)
5. *Virkar A. V., Raman A.* Crystal structures of AB_3 and A_2B_7 rare earth-nickel phases // *J. Less-Common Met.* 1969. Vol. 18. P. 59–66. DOI: [10.1016/0022-5088\(69\)90120-9](https://doi.org/10.1016/0022-5088(69)90120-9)
6. *Lemaire R., Paccard D., Pauthenet R.* Propriétés magnétiques des alliages de formule T_2Ni_7 , dans laquelle T désigne un métal de terre rare ou l'yttrium // *C. R. Seances Acad. Sci. (Ser. B)*. 1967. P. 1280–1282.
7. *Buschow K. H. J., Van Der Goot A. S.* The crystal structure of rare-earth nickel compounds of the type R_2Ni_7 // *J. Less-Common Met.* 1970. Vol. 22. P. 419–428. DOI: [10.1016/0022-5088\(70\)90129-3](https://doi.org/10.1016/0022-5088(70)90129-3)
8. *Gao Z., Zhang H.* $(La_{1.66}Mg_{0.34})Ni_7$ -based alloys: Structural and hydrogen storage properties // *Int. J. Electrochem. Sci.* 2016. Vol. 11. P. 1282–1292.
9. *Solokha P., Pavlyuk V., Tedenac J.-C.* Constitutional properties of Tb–Ni–Zn and Tb–Fe–Mg ternary systems at 400 °C // XXXIII JEEP, Villeurbanne, France, 2007. P. 31.
10. *Romaka V. V., Rogl P., Romaka L., Melnychenko N.* Interaction of the components in Dy–Ni–Sn ternary system and crystal structure of new compounds // *J. Alloys Compd.* 2009. Vol. 485. P. 275–279. DOI: [10.1016/j.jallcom.2009.06.077](https://doi.org/10.1016/j.jallcom.2009.06.077)
11. *Stetskiv A., Rozdzynska-Kielbik B., Kowalczyk G.* et al. The structural and thermal stability, electrochemical hydrogenation and corrosion behavior of $LaT_{5-x}M_x$ ($T = Co, Ni$ and $M = Al, Ge, Li$) phases // *Solid State Sci.* 2014. Vol. 38. P. 35–41. DOI: [10.1016/j.solidstatesciences.2014.09.016](https://doi.org/10.1016/j.solidstatesciences.2014.09.016)
12. *Kordan V., Zelinska O., Pavlyuk V., Nytko V., Serkiz R.* Electrochemical hydrogenation of $Tb_2Ni_{17-x}M_x$ ($M = Mg, Sn$) phases // *Chem. Met. Alloys.* 2016. Vol. 9(3/4). P. 153–157. DOI: [10.30970/cma9.0346](https://doi.org/10.30970/cma9.0346)
13. *Kordan V., Nytko V., Kowalczyk G.* et al. Influence of doping elements on the electrochemical hydrogenation efficiency of Tb_2Ni_{17} -based phases // *Chem. Met. Alloys.* 2017. Vol. 10(1/2). P. 61–68. DOI: [10.30970/cma10.0355](https://doi.org/10.30970/cma10.0355)
14. *Kordan V. M., Nytko V. V., Tarasiuk I. I., Pavlyuk V. V.* Electrochemical hydrogenation of the $Tb_2Ni_{15}LiMg$ phase // *Book of abstr. "XIV Ukr. Scient. Conf. Stud. Young Scient. Int. Part."* Vinnytsia, 2021. P. 56.
15. *Nytka V., Kordan V., Voloshyn V., Tarasiuk I., Pavlyuk V.* Electrochemical hydrogenation of $Tb_2Ni_{6.1}Li_{0.3}Mg_{0.3}Sb_{0.3}$ alloy // VII Ukrainian scientific and practical conference of higher education graduates and young scientists "Physics and chemistry of the solid state: state, achievements and prospects". Lutsk, 2022. P. 32–33 (in Ukrainian).
16. *Kraus W., Nolze G.* Powder Cell for Windows. Berlin, 1999.
17. *King G., Schwarzenbach D., Hall S. R.*, et al. Latcon. Xtal 3.7. System: University of Western. Australia, 2000.
18. *Besenhard J. O.* Handbook of battery materials. Wiley–VCH. Weinheim, 1999. 1023 p.
19. <http://chem.lnu.edu.ua/mtech/mtech.htm>
20. *Kordan V., Tarasiuk I., Stetskiv I., Serkiz R., Pavlyuk V.* Electrochemical hydrogenation of solid solutions based on the intermetallic compound $SmNi_5$ // *Chem. Met. Alloys.* 2019. 12(3/4). 77–87. DOI: <https://doi.org/10.30970/cma12.0396>

**ELECTROCHEMICAL HYDROGENATION OF ALLOYS BASED
ON Tb₂Ni₇ DOPED WITH LITHIUM AND MAGNESIUM****V. Nytko^{*}, V. Kordan, I. Tarasiuk, V. Pavlyuk***Ivan Franko National University of Lviv,
Kyryla i Mefodiya Str., 6, 79005 Lviv, Ukraine
e-mail: vitalii.nytko@lnu.edu.ua*

The α -Tb₂Ni_{7-x}Mg_x solid solution was investigated by X-ray powder diffraction, scanning electron microscopy, energy-dispersive X-ray spectroscopy. Hydrogen sorption ability of composite alloys Tb₂₂Ni₇₈, Tb₂₂Ni_{75.5}Mg_{2.5} and Tb₂₂Ni₇₃Li_{2.5}Mg_{2.5} was investigated using electrochemical hydrogenation. The alloys were synthesized by arc melting of pure components (5 wt. % excess of Li and Mg) under purified argon atmosphere. Morphology of the studied alloys surface was investigated using scanning electron microscope TESCAN Vega3 LMU. Quantitative composition of the samples was studied using Oxford Instruments energy-dispersive X-ray analyzer.

The binary compound Tb₂Ni₇ is characterized by a polymorphism. There are room-temperature phase α -Tb₂Ni₇ (structure type Ce₂Ni₇, space group *P6₃/mmc*) and high-temperature phase β -Tb₂Ni₇ (structure type Gd₂Co₇, space group *R-3m*). Phase analysis showed the formation of three electrochemical phases with Ce₂Ni₇-, Gd₂Co₇- and CaCu₅-type structure. Substitutions of Ni atoms by Mg or the statistical mixture of Li and Mg causes an increase of the unit cell parameters. The studied Tb₂₂Ni₇₈, Tb₂₂Ni_{75.5}Mg_{2.5} and Tb₂₂Ni₇₃Li_{2.5}Mg_{2.5} alloys as electrode materials in nickel-metal hydride batteries are characterized by discharge capacities of 159, 171 and 180 mA·h/g, respectively. As a result of electrochemical hydrogenation, there is an isotropic increasing of the unit cell parameters. The unit cell parameters change for the α -Tb₂Ni₇ compound after hydrogenation is: $a = 4.9498(3) \rightarrow 4.955(1) \text{ \AA}$, $c = 24.126(3) \rightarrow 24.18(1) \text{ \AA}$, $V = 511.93(7) \rightarrow 514.2(3) \text{ \AA}^3$; the change for the α -Tb₂Ni_{7-x}Mg_x ($x = 0,2$) solid solution is: $a = 4.9560(4) \rightarrow 4.9617(8) \text{ \AA}$, $c = 24.190(3) \rightarrow 24.221(6) \text{ \AA}$, $V = 514.56(9) \rightarrow 516.4(2) \text{ \AA}^3$. Four-component phase α -Tb₂Ni_{7-2x}Li_xMg_x ($x = 0.2$) demonstrates the biggest increase of the unit cell parameters: $a = 4.9520(7) \rightarrow 4.9677(8) \text{ \AA}$, $c = 24.173(8) \rightarrow 24.275(6) \text{ \AA}$, $V = 513.3(2) \rightarrow 518.8(2) \text{ \AA}^3$.

Particle size of the electrode materials decreases during electrochemical processes. Appearance of amorphous halo on X-ray powder patterns and a change of surface morphology confirmed the electrode material amorphization processes.

Keywords: solid solution, X-ray diffraction, energy-dispersive X-ray spectroscopy, electrochemical hydrogenation.

Стаття надійшла до редколегії 01.11.2022
Прийнята до друку 17.05.2023